

文章编号: 1000-8152(2008)02-0294-05

## 模糊逻辑补偿的网络PI控制系统及稳定性分析

王万良, 陈惠英, 陈伟杰, 郑建炜

(浙江工业大学 软件学院, 浙江 杭州 310032)

**摘要:** 针对现代工业过程中常用的网络PI控制系统, 分析了网络所诱导的时滞对PI控制系统性能的影响, 设计了一个模糊逻辑补偿器来实现对网络所诱导的时滞的补偿。利用Hermite-Biehler引理在准多项式稳定性问题上的推广, 研究了具有模糊逻辑补偿的网络PI控制系统的稳定性问题, 给出了使闭环系统稳定的模糊逻辑调节参数的取值范围。仿真结果验证了理论分析结果的有效性。

**关键词:** 网络控制系统; 时滞; PI控制; 模糊逻辑补偿

**中图分类号:** TP273      **文献标识码:** A

## Networked PI control systems with fuzzy logic compensation and its stability analysis

WANG Wan-liang, CHEN Hui-ying, CHEN Wei-jie, ZHENG Jian-wei

(College of Software, Zhejiang University of Technology, Hangzhou Zhejiang 310032, China)

**Abstract:** For the networked PI control systems in many modern industrial processes, the effect of network-induced time delay on the performance of PI control systems is analyzed. A fuzzy logic modulator is designed to compensate the network-induced time delay. The problem of stabilizing networked PI control systems with fuzzy logic compensation is studied by applying the extension of the Hermite-Biehler theorem to the quasi-polynomial stability problem. The region of fuzzy logic modulator parameter value for the stability of the networked closed-loop system is provided. Simulation result shows the validity of the proposed work.

**Key words:** networked control systems; time delay; PI control; fuzzy logic compensation

### 1 引言(Introduction)

具有随机时滞的网络控制系统, 目前主要有确定性方法、随机控制和智能控制等方法。确定性方法是将随机时滞转化为固定时滞, 然后设计控制器。该方法的优点是可利用现有的确定性系统的设计方法设计控制器, 缺点是由于缓冲区将时滞都转化成最大时滞, 降低了系统应有的性能<sup>[1]</sup>。随机控制方法是对网络时滞进行建模和估计, 将网络时滞作为系统中的随机变量, 从最优控制和动态规划等角度设计控制器<sup>[2]</sup>。这类方法要求知道随机时滞的统计特性, 而且运算比较复杂。智能控制方法是针对具有不确定时滞、丢包等特性的网络控制系统的有效方法<sup>[3,4]</sup>。此外, 近年来也提出了不少先进控制算法应用于NCS控制器的设计中, 如: 预测控制<sup>[5]</sup>、鲁棒控制方法<sup>[6]</sup>等。

本文针对工业过程中常用的网络PI控制系统, 分析了引入网络后可能导致的控制系统的不稳定, 设

计了一个模糊逻辑补偿器来实现对网络所引起的时滞的补偿, 并着重对其稳定性进行了分析。

### 2 模糊逻辑补偿的网络PI控制(Networked PI control with fuzzy logic compensation)

典型的网络控制系统如图1所示。

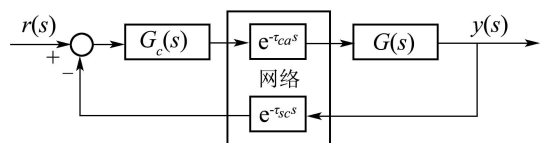


图1 网络控制系统框图  
Fig. 1 Block diagram of NCS

其中:  $\tau_{sc}$  和  $\tau_{ca}$  是网络通讯所造成时滞,  $\tau_{sc}$  为传感器—控制器的时滞,  $\tau_{ca}$  为控制器—执行器的时滞。由于本文主要讨论网络PI控制系统, 因此, 图1中的  $G_c(s)$  是PI控制器的传递函数。

由图1知, 网络控制系统与一般控制系统相比, 在

收稿日期: 2006-01-04; 收修改稿日期: 2006-12-17。

基金项目: 国家自然科学基金资助项目(60573123); 浙江省科技计划重点项目(2003C21005)。

闭环系统中引入了两个纯滞后环节, 而且随着网络中传输的信息量大小的变化,  $\tau_{sc}, \tau_{ca}$  一般是不确定的。因此, 在控制系统中引入了网络后, 仅通过PI控制, 很难取得较好的控制性能, 需引入相应的补偿技术。

针对网络所引起的不确定时滞, 采用了模糊逻辑补偿方法, 该方法通过一个模糊逻辑调节参数 $\beta$ 来调整PI控制器的输出信号, 其优点在于不需要对PI控制器进行重新设计, 而只需通过调整外部参数 $\beta$ 来实现对网络所诱导的时滞的补偿。具有模糊逻辑补偿器的网络PI控制系统的结构框图如图2所示<sup>[3]</sup>。其中,  $\otimes$ 符号表示相乘运算, 即 $u_c(s) = \beta u_{PI}(s)$ 。

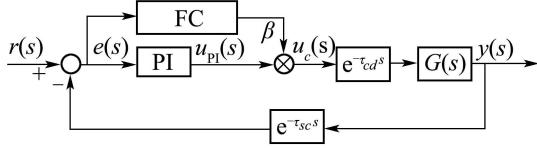


图2 具有模糊逻辑补偿器的网络PI控制系统

Fig. 2 Block diagram of the networked PI control system with a fuzzy logic compensator

在图2所示的系统中, PI控制器的设计是在不考虑网络时滞的情况下, 直接根据 $G(s)$ 设计的, 从而使得PI控制器的设计得以简化。FC是一维模糊控制器<sup>[8]</sup>。其中输入是误差 $e$ , 输出是参数 $\beta$ , 量化因子 $K_e$ 取为 $1/r$ ,  $r$ 为参考输入; 比例因子 $K_\beta$ 可根据下面得出的稳定性分析结果适当选取。控制规则选用Takagi-Sugeno模糊规则, 输入、输出的隶属度函数如图3所示。

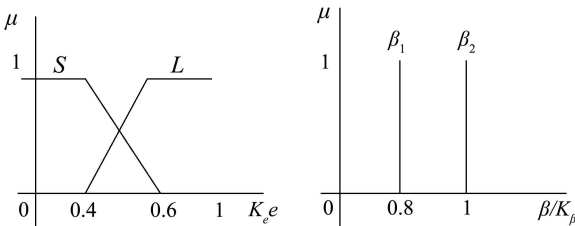


图3 输入 $e$ , 输出 $\beta$ 隶属度函数

Fig. 3 Membership functions of input  $e$ , output  $\beta$

模糊控制规则如下:

$$\begin{aligned} &\text{if } e(t) \text{ is } S, \text{ then } \beta = \beta_1, \\ &\text{if } e(t) \text{ is } L, \text{ then } \beta = \beta_2. \end{aligned}$$

输出 $\beta$ 可通过反模糊化后再乘上 $K_\beta$ 加以求得

$$\beta = K_\beta \frac{\beta_1 \mu_S(e) + \beta_2 \mu_L(e)}{\mu_S(e) + \mu_L(e)}. \quad (1)$$

由图2知, 引入模糊控制后新的控制器的输出为

$$u_c(s) = \beta u_{PI}(s) = \beta \frac{k_p s + k_i}{s}. \quad (2)$$

### 3 网络PI控制系统的稳定性分析(Stability analysis of networked PI control systems)

#### 3.1 网络PI控制系统的稳定性问题(Stability problem of networked PI control systems)

为便于稳定性分析, 将图2简化处理得到图4, 其中 $L \geq (\tau_{sc} + \tau_{ca})$ 。

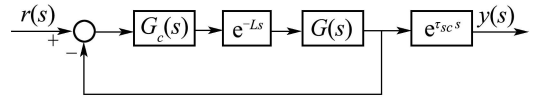


图4 简化的结构框图

Fig. 4 Simplified block diagram

图4所示的控制系统, 被控对象和具有模糊调节参数的PI控制器的结构分别为

2阶对象:

$$G(s) = \frac{k}{(T_1 s + 1)(T_2 s + 1)}.$$

控制器:

$$G'_c(s) = \beta G_c(s) = \beta \frac{k_p s + k_i}{s}.$$

可以得出图4所示闭环系统的特征方程为

$$\begin{aligned} \Delta(s) = & s(T_1 s + 1)(T_2 s + 1) + k \beta (k_p s + k_i) e^{-Ls} = \\ & d(s) + e^{-Ls} n_1(s) \end{aligned} \quad (3)$$

首先, 检验不含网络时滞即 $L = 0$ 时闭环系统的稳定性。使用Routh-Hurwitz稳定性判据, 可以得到闭环系统稳定的充分必要条件<sup>[9]</sup>:

$$k_p > \frac{T_1 T_2}{T_1 + T_2} k_i - \frac{1}{k}, \quad k_i > 0.$$

对于含网络时滞即 $L > 0$ 的情况, 由于式(3)中包含 $e^{-Ls}$ 项, 所以不能直接应用Routh-Hurwitz稳定性判据。要从该多项式确定使系统稳定的 $\beta$ 取值范围是一件非常困难的事。本文基于Hermite-Biehler定理的推广引理, 解决这一困难<sup>[3]</sup>。

#### 3.2 Hermite-Biehler定理的推广(Extension of Hermite-Biehler theorem)

工业过程中不可避免地存在时滞现象, 一般用

$$\delta(s) = d(s) + e^{-sT_1} n_1(s) + \dots + e^{-sT_m} n_m(s) \quad (4)$$

描述其动态模型的特征方程式, 称其为准多项式。其中 $d(s)$ 和 $n_i(s)$ ( $i = 1, 2, \dots, m$ ) 是实多项式。若在式(4)中作如下的假设:

- a)  $\deg[d(s)] = n$ ,  $\deg[n_1(s)] \leq n$ ;
- b)  $0 < T_1 < T_2 < \dots < T_m$ .

则可用如下的准多项式:

$$\begin{aligned} \delta^*(s) = & \\ e^{sT_m} \delta(s) = & e^{sT_m} d(s) + e^{s(T_m - T_1)} n_1(s) + \end{aligned}$$

$$e^{s(T_m-T_2)}n_2(s) + \dots + n_m(s) \quad (5)$$

代替 $\delta(s)$ . 因为 $e^{sT_m}$ 没有任何有限零解, 所以 $\delta(s)$ 的Hurwitz稳定性等价于 $\delta^*(s)$ 的Hurwitz稳定性.

**引理 1<sup>[7]</sup>(Hermite-Biehler定理的推广)** 考虑式(5)给定的 $\delta^*(s)$ , 将其写成 $\delta^*(j\omega) = \delta_r(\omega) + j\delta_i(\omega)$ , 其中 $\delta_r(\omega)$ 和 $\delta_i(\omega)$ 分别表示 $\delta^*(j\omega)$ 的实部和虚部. 在满足上述假设(a)和(b)的前提下,  $\delta^*(s)$ 稳定的充分必要条件是

1)  $\exists \omega_0 \in (-\infty, \infty)$ , 使得

$$E(\omega_0) = \delta'_i(\omega_0)\delta_r(\omega_0) + \delta_i(\omega_0)\delta'_r(\omega_0),$$

其中 $\delta'_i(\omega_0)$ 和 $\delta'_r(\omega_0)$ 分别表示 $\delta_i(\omega_0)$ 和 $\delta_r(\omega_0)$ 关于 $\omega$ 的1阶导数.

2)  $\delta_r(\omega)$  和  $\delta_i(\omega)$  只有实根且互相交错.

**引理 2<sup>[7]</sup>** 设  $M$  和  $N$  分别为  $\delta^*(s)$  中  $s$  和  $e^s$  的最高指数. 若存在一常数  $\eta$ , 使得当  $\omega = \eta$  时,  $\delta_r(\omega)$  和  $\delta_i(\omega)$  的最高次项的系数不为 0, 则  $\delta_r(\omega) = 0$  或  $\delta_i(\omega) = 0$  仅有实根的充分必要条件是: 从一个足够大的  $l$  开始, 对于  $\omega \in [-2l\pi + \eta, 2l\pi + \eta]$ ,  $\delta_r(\omega)$  和  $\delta_i(\omega)$  有  $4lN + M$  个实根.

### 3.3 网络PI控制系统稳定的 $\beta$ 参数范围(Region of parameter $\beta$ value for stabilizing networked PI control systems)

本文利用Hermite-Biehler定理的推广, 分析对于给定的时滞  $L$  和参数  $\beta$  值, 研究网络PI控制系统的稳定性, 并给出了使闭环系统稳定的 $\beta$ 参数范围. 很显然, 式(3)满足引理1中的两个假设. 由式(3)构造一个准多项式:

$$\begin{aligned} \Delta^*(s) &= e^{Ls} \Delta(s) = \\ &s(T_1 s + 1)(T_2 s + 1)e^{Ls} + k\beta(k_p s + k_i). \end{aligned} \quad (6)$$

为了便于分析, 设  $z = \omega L$ , 则  $\Delta^*(j\omega)$  的实部和虚部分别为

$$\begin{aligned} \Delta_r(z) &= \frac{z}{L} \left( \frac{z^2}{L^2} T_1 T_2 - 1 \right) \sin z - \\ &\quad \frac{z^2}{L^2} (T_1 + T_2) \cos z + k\beta k_i, \end{aligned} \quad (7)$$

$$\begin{aligned} \Delta_i(z) &= \frac{z}{L} \left( 1 - \frac{z^2}{L^2} T_1 T_2 \right) \cos z - \\ &\quad \frac{z^2}{L^2} (T_1 + T_2) \sin z + \frac{z}{L} k\beta k_p. \end{aligned} \quad (8)$$

式(7)是关于  $z$  的偶函数, 式(8)是关于  $z$  的奇函数.

由引理1得知, 若使准多项式(6)稳定, 需要检验引理1中的两个充分必要条件是否成立. 下面分别对其两个条件进行检验.

检验引理1中的条件1):

设  $\omega_0 = z_0 = 0$ , 则条件1)变为  $\frac{1}{L}(1 + k\beta k_p)k\beta k_i > 0$ . 由于  $L > 0$ ,  $k > 0$ ,  $k_p > 0$ ,  $k_i > 0$ ,  $\beta > 0$ , 很显然, 条件1)是满足的.

检验引理1中的条件2):

根据式(8)可解得虚部的根  $z = 0$  或

$$(1 - \frac{z^2}{L^2} T_1 T_2) \cos z - \frac{z}{L} (T_1 + T_2) \sin z + k\beta k_p = 0. \quad (9)$$

由于式(9)并非常规的多项式, 可以通过图解法求解. 例如, 以一直流电机模型为例, 取  $G(s)$  中的  $k = 3.9804$ ,  $T_1 = 4.4783 * 10^{-4}$ ,  $T_2 = 0.0353$ , 当  $L = 0.01$  s,  $\beta = 0.25$  时, 画出  $\phi_1(z) = (1 - \frac{z^2}{L^2} T_1 T_2) \cos z + k\beta k_p$  与  $\phi_2(z) = \frac{z \sin z}{L} (T_1 + T_2)$  的曲线如图5所示.

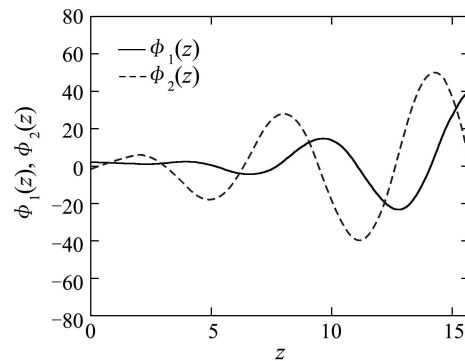


图 5  $\phi_1(z)$  与  $\phi_2(z)$  的曲线图

Fig. 5 Plot of  $\phi_1(z)$  and  $\phi_2(z)$

设  $z_j$  为  $\delta_i(z)$  的根, 在区间  $[0, 5\pi]$  中两条曲线存在6个交点, 即为式(9)的6个根, 因此,  $\delta_i(z)$  在区间  $[0, 5\pi]$  的全部根为:  $z_0 = 0$ ,  $z_1 = 0.8125$ ,  $z_2 = 2.9637$ ,  $z_3 = 6.1281$ ,  $z_4 = 9.0825$ ,  $z_5 = 12.1230$ ,  $z_6 = 15.1087$ .

下面利用引理2来检验  $\delta_i(z)$  是否只有实根.

将  $s_1 = Ls$  代入  $\Delta^*(s)$ , 在该新的准多项式  $\Delta^*(s_1)$  中,  $M = 3$ ,  $N = 1$ . 选择  $\eta = \pi/25$ , 使得  $\sin \eta \neq 0$ ,  $\cos \eta \neq 0$ . 由图5可知,  $\delta_i(z)$  在区间  $[-2\pi + \eta, 2\pi + \eta]$  有  $4lN + M = 7$ , 而在区间  $[2l\pi + \eta, 2(l+1)\pi + \eta]$ ,  $[-2l\pi + \eta, -2(l+1)\pi + \eta]$  各有两个实根. 因此, 从  $l = 1$  开始, 在区间  $[-2l\pi + \eta, 2l\pi + \eta]$ ,  $\delta_i(z)$  有  $4lN + M$  个实根. 由引理2得知  $\delta_i(z)$  只有实根.

经计算  $\delta_r(z_0) > 0$ ,  $\delta_r(z_1) < 0$ ,  $\delta_r(z_2) > 0$ ,  $\delta_r(z_3) < 0$ ,  $\delta_r(z_4) > 0$ ,  $\delta_r(z_5) < 0$ , ..., 满足  $\delta_r(z)$  和  $\delta_i(z)$  的根相互交错的条件. 利用这一特性同时也可以得出, 当  $\delta_i(z)$  仅有实根时,  $\delta_r(z)$  也同样只有实根.

上面证明了对于上述给定的  $\beta$ ,  $L$  值,  $\Delta^*(s)$  满足引理1的所有条件, 因此也就证明了具有模糊逻辑补偿的网络PI控制在上述给定的  $\beta$ ,  $L$  值下保持闭环系统的稳定性.

下面将给出网络PI控制系统稳定模糊逻辑调节参数  $\beta$  的范围<sup>[3]</sup>.

**定理 1** 带有模糊逻辑调节参数的网络PI控制系 统, 若  $k_p > 0$ ,  $k_i > 0$ ,  $\beta > 0$ , 则当模糊逻辑调节

参数 $\beta$ 的范围为

$$0 < \beta < \frac{1}{kk_p} \left[ (T_1 + T_2) \frac{\alpha}{L} \sin \alpha - (1 - \frac{\alpha^2}{L^2} T_1 T_2) \cos \alpha \right] \quad (10)$$

时闭环网络控制系统稳定. 其中 $\alpha \in (0, \pi)$ 为下式的解:

$$\tan \alpha = \left( \frac{L}{\alpha} \right) \frac{k_p \alpha^2 (T_1 + T_2) + k_i (L^2 - \alpha^2 T_1 T_2)}{k_i L^2 (T_1 + T_2) + k_p (\alpha^2 T_1 T_2 - L^2)}. \quad (11)$$

**证 步骤1** 检验 $\delta_i(z)$ 只有实根. 由式(9)得

$$\frac{(1 - \frac{z^2}{L^2} T_1 T_2) \cos z + k \beta k_p}{\sin z} = \frac{z}{L} (T_1 + T_2). \quad (12)$$

记 $\phi_3(z) = \frac{(1 - \frac{z^2}{L^2} T_1 T_2) \cos z + k \beta k_p}{\sin z}$ ,  $\phi_4(z) = \frac{z}{L} (T_1 + T_2)$ , 绘制 $\phi_3(z)$ 和 $\phi_4(z)$ 的曲线如图6所示.

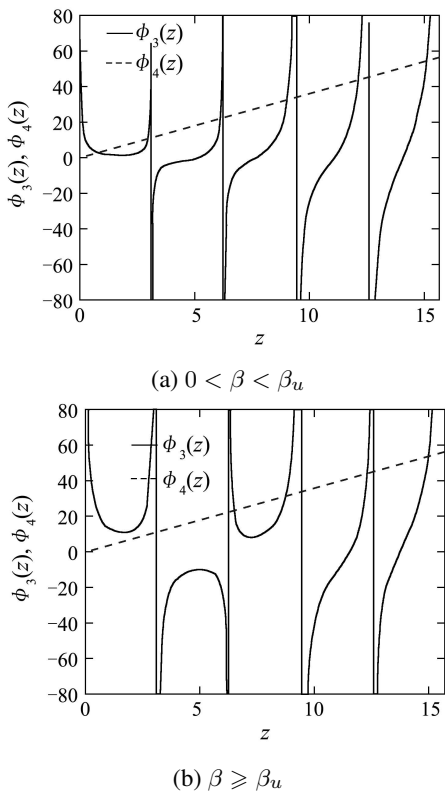


图 6  $\phi_3(z)$ 与 $\phi_4(z)$ 的曲线图

Fig. 6 Plot of  $\phi_3(z)$  and  $\phi_4(z)$

当 $\beta \geq \beta_u$ , 由引理2很容易得出 $\delta_i(z)$ 的根并不全是实根, 因此也就排除了闭环系统稳定性的可能. 当 $\beta = \beta_u$ , 则 $\phi_3(z)$ 和 $\phi_4(z)$ 在 $(0, \pi)$ 只相交一次并且相切. 设 $z = \alpha_1 \in (0, \pi)$ , 则有

$$\frac{(1 - \frac{\alpha_1^2}{L^2} T_1 T_2) \cos \alpha_1 + k \beta k_p}{\sin \alpha_1} = \frac{\alpha_1}{L} (T_1 + T_2), \quad (13)$$

$$\frac{d}{dz} \left[ \frac{(1 - \frac{z^2}{L^2} T_1 T_2) \cos z + k \beta k_p}{\sin z} \right]_{z=\alpha_1} = \frac{(T_1 + T_2)}{L}, \quad (14)$$

化简后可得

$$\tan \alpha_1 = \frac{\left( \frac{T_1 + T_2}{L} \right) + 2 \left( \frac{T_1 T_2}{L^2} \right)}{\left( \frac{T_1 + T_2}{L} \right) + \left( 1 - \frac{\alpha_1^2 T_1 T_2}{L^2} \right)} \alpha_1. \quad (15)$$

因此, 一旦网络PI控制系统的最大时滞 $L$ 给定, 则相应的参数 $\beta_u$ 就可以获得

$$\beta_u = \frac{1}{kk_p} \left[ (T_1 + T_2) \frac{\alpha_1}{L} \sin \alpha_1 - (1 - \frac{\alpha_1^2}{L^2} T_1 T_2) \cos \alpha_1 \right]. \quad (16)$$

当 $0 < \beta < \beta_u$ , 由引理(2)可得 $\delta_i(z)$ 只有实根.

**步骤2** 检验 $\delta_r(z)$ 和 $\delta_i(z)$ 根的相互交错性.

首先将 $\delta_r(z) = 0$ ,  $\delta_i(z) = 0$ 作一下变换:

$$\beta = \frac{1}{kk_i} \left[ \frac{z}{L} \left( \frac{z^2}{L^2} T_1 T_2 - 1 \right) \sin z - \frac{z^2}{L^2} (T_1 + T_2) \cos z \right], \quad (17)$$

$$\beta = \frac{1}{kk_p} \left[ \frac{z}{L} (T_1 + T_2) \sin z - (1 - \frac{z^2}{L^2} T_1 T_2) \cos z \right]. \quad (18)$$

在区间 $(0, 2\pi)$ 绘制

$$\begin{aligned} \phi_5(z) &= \\ &\frac{1}{kk_i} \left[ \frac{z}{L} \left( \frac{z^2}{L^2} T_1 T_2 - 1 \right) \sin z - \frac{z^2}{L^2} (T_1 + T_2) \cos z \right], \\ \phi_6(z) &= \\ &\frac{1}{kk_p} \left[ \frac{z}{L} (T_1 + T_2) \sin z - (1 - \frac{z^2}{L^2} T_1 T_2) \cos z \right] \end{aligned}$$

的曲线如图7所示. 从图7可知, 两曲线在区间 $(0, 2\pi)$ 有一交点, 设 $z = \alpha_2$ , 则有 $\phi_5(\alpha_2) = \phi_6(\alpha_2)$ , 化简得

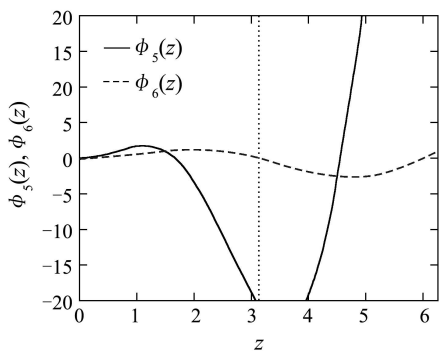
$$\tan \alpha_2 = \left( \frac{L}{\alpha_2} \right) \frac{k_p \alpha_2^2 (T_1 + T_2) + k_i (L^2 - \alpha_2^2 T_1 T_2)}{k_i L^2 (T_1 + T_2) + k_p (\alpha_2^2 T_1 T_2 - L^2)}. \quad (19)$$

由此可得

$$\begin{aligned} \beta_{uj} &= \frac{1}{kk_p} \left[ (T_1 + T_2) \frac{\alpha_2}{L} \sin \alpha_2 - \right. \\ &\left. (1 - \frac{\alpha_2^2}{L^2} T_1 T_2) \cos \alpha_2 \right]. \quad (20) \end{aligned}$$

由 $\delta_r(z)$ 和 $\delta_i(z)$ 根相互交错性的等价性可知, 要求 $\delta_r(z_1) < 0$ , 但当 $\beta \geq \beta_{uj}$ 时,  $\delta_r(z_1) \geq 0$ 不满足根的相互交错性条件, 因此得出要满足 $\delta_r(z)$ 和 $\delta_i(z)$ 根相互交错性的 $\beta$ 范围为 $0 < \beta < \beta_{uj}$ .

综合步骤1,2得出保证网络PI控制系统的稳定的 $\beta$ 范围为 $0 < \beta < \min(\beta_u, \beta_{uj})$ .

图 7  $\phi_5(z)$  与  $\phi_6(z)$  的曲线图Fig. 7 Plot of  $\phi_5(z)$  and  $\phi_6(z)$ 

**步骤 3** 下面针对不同的  $L$  值, 根据式(15)(16)(19)(20)绘制关于  $\beta_u$ ,  $\beta_{uj}$  的曲线如图8所示, 给出了网络PI控制系统的稳定区域。从图8得知, 对于给定的  $L$ ,  $\beta_u > \beta_{uj}$ 。

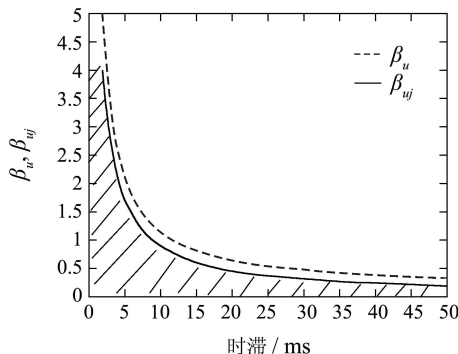


图 8 稳定域

Fig. 8 stability region

综上3步骤, 得出保证网络PI控制系统的稳定的  $\beta$  范围为  $0 < \beta < \beta_{uj}$ , 定理1证毕。

#### 4 仿真(Simulation)

本文利用定理1对网络PI控制系统的稳定性进行了仿真。以直流电机模型为例, 取  $G(s)$  中的参数同前, 输入  $r = 50$ , 设最大时滞  $L = 10 \text{ ms}$ 。由定理1解得使系统稳定的上界为0.8909。仿真结果如图9。当  $\beta = 0.8909$  时, 系统输出处于临界稳定, 仿真结果和理论分析结果完全一致。

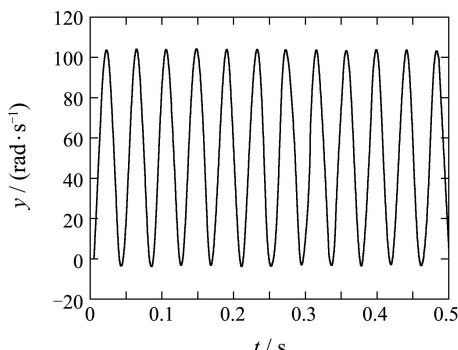


图 9 网络PI控制系统的阶跃响应

Fig. 9 Step response of networked PI control systems

#### 5 结论(Conclusion)

网络控制系统中网络所诱导的时滞是不可避免且不确定的。本文利用经典的Hermite-Biehler引理在准多项式稳定性问题上的推广, 研究了具有模糊逻辑补偿的网络PI控制系统的稳定性问题, 从理论上推导出模糊逻辑调节参数  $\beta$  的取值范围, 对网络控制系统的分析与设计具有重要的价值。

#### 参考文献(References):

- [1] 于之训, 蒋平, 等. 具有传输延迟的网络控制系统中状态观测器的设计[J]. 信息与控制, 2000, 29(2): 125 – 130.  
(YU Zhixun, JIANG Ping, etc. Design of status observer for network control system with transfer delay[J]. *Information and Control*, 2000, 29(2): 125 – 130.)
- [2] 朱其新, 胡寿松, 等. 无限时间长时延网络控制系统的随机最优控制[J]. 控制理论与应用, 2004, 21(3): 321 – 326.  
(ZHU Qixin, HU Shousong, etc. Infinite time stochastic optimal control of networked control systems with long delay[J]. *Control Theory & Application*, 2004, 21(3): 321 – 326.)
- [3] ALMUTAIRI N B, CHOW M Y. Adaptive fuzzy modulation (AFM) for IP networked PI control systems-Part I: Partial adaptation[C]//Proceedings of the 28th Annual Conference of the IEEE Industrial Electronics Society . Sevilla, Spain: IEEE Press, 2002: 3152 – 3157.
- [4] 李毅, 胡保生, 等. 基于GASA 算法的网络控制系统的控制器设计[J]. 系统仿真学报, 2004, 16(7): 1571 – 1588.  
(LI Yi, HU Baosheng, etc. Controller design of networked control system based on GASA[J]. *Journal of System Simulation*, 2004, 16(7): 1571 – 1588.)
- [5] 黄剑, 关治洪, 等. 不确定网络控制系统具有  $H_{infty}$  性能界的鲁棒控制[J]. 控制与决策, 2005, 20(9): 1002 – 1005.  
(HUANG Jian, GUAN Zhizhong, etc. Robust Control with  $H_\infty$  performance bound for networked control systems with data packet dropouts[J]. *Control and Decision*, 2005, 20(9): 1002 – 1005.)
- [6] TANG P L, SILVA W C. Compensation for transmission delays in an ethernet-based control network using variable-horizon predictive control[J]. *IEEE Transactions on Control Systems Technology*, 2006, 14(2): 707 – 718.
- [7] SILVA G J, DATTA A, etc. PI stabilization of first order systems with time delay[J]. *Automatica*, 2001, 37(12): 2025 – 2031.
- [8] 袁南儿, 王万良, 苏宏业. 计算机新型控制策略及其应用[M]. 北京: 清华大学出版社, 1998.  
(YUAN Nan'er, WANG Wanliang, SU Hongye. *Modern Computer Control Strategies and Applications*[M]. Beijing: Tsinghua University Press, 1998.)
- [9] 王万良. 自动控制原理[M]. 北京: 科学出版社, 2001.  
(WANG Wanliang. *Automatic Control Theory*[M]. Beijing: Science Press, 2001.)

#### 作者简介:

王万良 (1957—), 男, 博士, 教授, 博士生导师, 浙江工业大学软件学院院长, 自动化研究所所长, 控制理论与控制工程学科带头人, 目前研究方向为计算机控制与智能自动化、计算机网络控制等, E-mail:wwl@zjut.edu.cn;

陈惠英 (1979—), 女, 浙江工业大学控制理论与控制工程专业博士研究生, 主要研究领域为计算机网络控制;

陈伟杰 (1985—), 男, 硕士研究生, 主要研究方向为计算机网络控制;

郑建炜 (1982—), 男, 博士研究生, 主要研究方向为计算机网络控制。